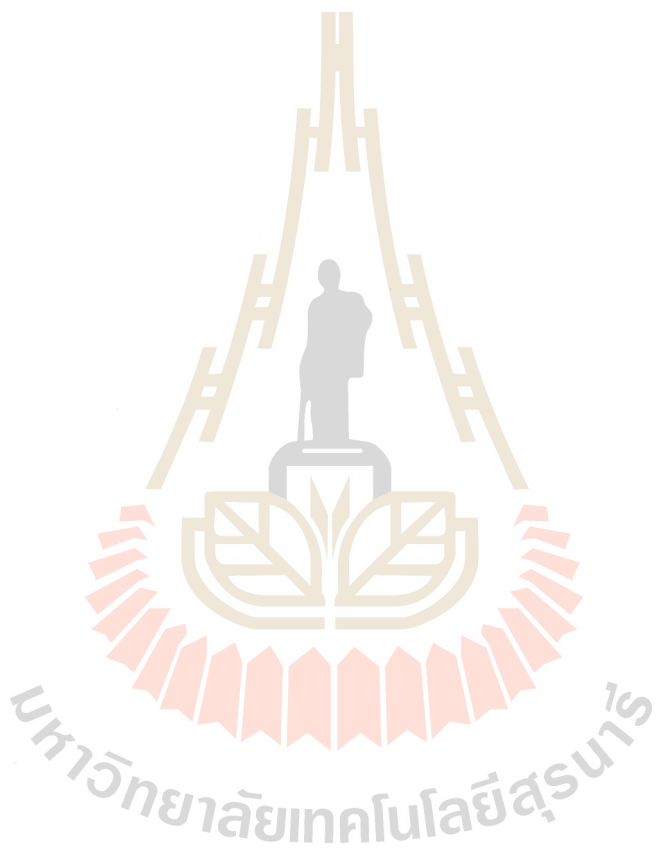


ยุวชิดา ปักโภทนัง : การศึกษาการดูดซับสารกำจัดศัตรูพืชโดยใช้เซิโอໄไลต์ Y และเซิโอໄไลต์ Y ดัดแปลง (ADSORPTION STUDY OF PESTICIDES FROM AQUEOUS SOLUTION USING UNMODIFIED AND MODIFIED ZEOLITE Y). อาจารย์ที่ปรึกษา : ผู้ช่วยศาสตราจารย์ ดร.กุลวีร์ รังษีวัฒนาวนันท์, 122 หน้า.

งานวิจัยนี้มุ่งเน้นการศึกษาความสามารถในการดูดซับสารกำจัดศัตรูพืชจากสารละลายโดยการศึกษาเปรียบเทียบระหว่างเซิโอໄไลต์ HY (HYZ) ที่มีอัตราส่วนโดยโมลของ  $\text{SiO}_2/\text{Al}_2\text{O}_3$  ต่างกันคือ 10 (HY10) 100 (HY100) และ 500 (HY500) การปรับปรุงคุณสมบัติในการดูดซับสารกำจัดศัตรูพืชของ HY10 และ HY100 ทำโดยการเปลี่ยนชนิดของเคนเน็ตอร์ไฮอ่อนในเซิโอໄไลต์จากไฮโตรเจนไฮอ่อน ( $\text{H}^+$ ) เป็นโซเดียมไฮอ่อน ( $\text{Na}^+$ ) และการดัดแปลงด้วยสารลดแรงตึงผิวเช่นเดซิลไฮಡรอกลูโคมโนเนียมคลอไรด์ (HDTMA) และโซเดียมโดเดซิลซัลไฟต์ (SDS) ซึ่งลักษณะเฉพาะของเซิโอໄไลต์ Y และเซิโอໄไลต์ Y ที่ถูกดัดแปลงได้ทำการตรวจสอบด้วยทางห้องทดลองทางเทคนิค เช่น FTIR TG/DTG  $\text{NH}_3$ -TPD XRD WD-XRF CHN/S BET และ การทاขนาดอนุภาค (particle size) ในส่วนของการศึกษาเปรียบเทียบความสามารถในการดูดซับอาทราชีน ไดยูรอน กรด 2,4-ดีพาราควอต และ ของ HY10 HY100 และ HY500 พบว่าอัตราส่วนโดยโมลของ Si/Al ส่งผลต่อความสามารถในการดูดซับของเซิโอໄไลต์ HY โดยความสามารถในการกำจัดพาราควอตของตัวดูดซับเรียงตามลำดับคือ HY10 > HY100 > HY500 ซึ่งตรงข้ามกับผลของการดูดซับกรด 2,4-ดีอาทราชีน และ ไดยูรอนที่มีลำดับความสามารถในการดูดซับเป็น HY500 > HY100 > HY10 แต่อย่างไรก็ตาม HY10 นั้นยังสามารถดูดซับพาราควอตได้อีกด้วย และมีความสามารถสูงที่สุดในการดูดซับสารกำจัดศัตรูพืชชนิดพร้อม ๆ กัน ค่าการดูดซับ พาราควอตจะเพิ่มขึ้นเมื่อเพิ่ม pH ของสารละลาย ในทางตรงกันข้ามกลับสั่งผลต่อการลดลงของค่าการดูดซับกรด 2,4-ดี อย่างไรก็ตามการเพิ่ม pH ของสารละลายจะส่งผลต่อการลดความสามารถในการกำจัดอาทราชีนและไดยูรอนเฉพาะ HY10 เท่านั้น ในส่วนของการดัดแปลงเซิโอໄไลต์โดยการเปลี่ยนชนิดของเคนเน็ตอร์ไฮอ่อนด้วย  $\text{Na}^+$  เพื่อนำมาใช้ในการดูดซับสารกำจัดศัตรูพืชแปดชนิดซึ่งได้แก่กรด 2,4-ดี อาทราชีน ลิมูรอน พาราควอต เบนทาโซน คาร์บอฟูแรน ไชyanachin และ ไดเฟนโซเดียม ผลปรากฏชัดเจนว่า เซิโอໄไลต์ที่มีเคนเน็ตอร์ไฮอ่อนเป็น  $\text{H}^+$  สามารถดูดซับ 2,4-ดี ได้มากกว่าเซิโอໄไลต์ที่มีเคนเน็ตอร์ไฮอ่อนเป็น  $\text{Na}^+$  ส่วนในกรณีของการดัดแปลง ZY10 และ ZY100 ด้วยสารลดแรงตึงผิวทั้งสองชนิดพบว่าความสามารถในการดูดซับสารกำจัดศัตรูพืชจะขึ้นอยู่กับลักษณะการจัดเรียงตัวของสารลดแรงตึงผิวนั้นพื้นผิวของเซิโอໄไลต์ โดยการเพิ่มความเข้มข้นของสาร HDTMA สามารถเพิ่มค่าการดูดซับของ ZY10 ได้แต่กลับสั่งผลในการลดค่าการดูดซับของ ZY100 ในส่วนของการใช้ SDS

ในการดัดแปลงชีโอลิต พบร้า SDS สามารถเข้าจับได้กับพื้นผิวของ ZY100 เท่านั้น โดยความสามารถในการกำจัดพาราควอต และ 2,4-ดี ของ ZY100 ที่ถูกดัดแปลงด้วย SDS จะขึ้นอยู่กับปริมาณน้ำในโครงสร้างของชีโอลิต และยังพบว่าการเพิ่มค่า pH ของสารละลายจะส่งผลต่อการเพิ่มความสามารถของ HZY100 และ SZY100 ในการดูดซับ 2,4-ดี ได้เพิ่มขึ้นแต่ส่งผลให้ความสามารถในการดูดซับพาราควอตลดลง สำหรับกระบวนการดูดซับสารกำจัดศัตรูพืชของตัวดูดซับส่วนใหญ่จะเป็นไปตามจลนพลศาสตร์แบบอันดับสองเที่ยม และมีไอโซเทอร์มของการดูดซับแบบແລງเมียร์



สาขาวิชาเคมี  
ปีการศึกษา 2560

ลายมือชื่อนักศึกษา \_\_\_\_\_ คง  
ลายมือชื่ออาจารย์ที่ปรึกษา ดร. นันดา บุญเรือง

YUWATIDA PUKCOTHANUNG : ADSORPTION STUDY OF PESTICIDES  
FROM AQUEOUS SOLUTION USING UNMODIFIED AND MODIFIED  
ZEOLITE Y. THESIS ADVISOR : ASST. PROF. KUNWADEE RANGSRI  
WATANANON, Ph.D. 122 PP.

ZEOLITE Y, Si/Al RATIO, MODIFICATION, HDTMA, SDS, ADSORPTION

The main of this work focuses on the study of adsorption ability of pesticides from aqueous solution comparing between HY zeolite with the different Si/Al mole ratios as 10 (HY10), 100 (HY100) and 500 (HY500) and the improvement of the adsorption properties of HY10 and HY100 by changing the countercation of zeolite from  $H^+$  to  $Na^+$  and modifying with hexadecyltrimethylammonium (HDTMA) chloride and sodium dodecyl sulfate (SDS). The characteristics of unmodified and modified zeolite were investigated by several techniques such as FTIR, TG/DTG,  $NH_3$ -TPD, XRD, WD-XRF, CHN/S, BET and particle size analysis. The study of the adsorption ability comparing between HY10, HY100 and HY500 to adsorb atrazine, diuron, 2,4-dichlorophenoxyacetic acid (2,4-D) and paraquat ion ( $PQ^{2+}$ ) reveals that Si/Al ratio affects to the adsorption ability of HY zeolite. For the removal of  $PQ^{2+}$ , the ability of the adsorbents lines in the order of HY10 > H100 > HY500. In contrast, the adsorption capacity of the adsorbents to adsorb 2,4-D, atrazine and diuron is in the order of HY500 > HY100 > HY10. However, HY100 can also adsorb few amounts of  $PQ^{2+}$  and has the highest ability in the simultaneous adsorption of various pesticides. The adsorption value of  $PQ^{2+}$  increases with increasing pH of the solution, but it decreases in the case of 2,4-D. However, with increasing pH it causes a decrease in the adsorption capacity

of HY10 only, in the removal of atrazine and diuron. In the part of the modified zeolite with  $\text{Na}^+$ , eight species of pesticides such as 2,4-D, atrazine, Linuron,  $\text{PQ}^{2+}$ , bentazon, carbofuran, cyanazin and difenzoquat methylsulfate ( $\text{DQ}^+$ ) were used as adsorbates. It is obvious that in the adsorption of 2,4-D by ZY10 and ZY100 in H-form (HYZ) and Na-form (NaYZ) exhibits the adsorption value of HYZ higher than that of NaYZ. In the case of the modification with surfactants, the adsorption capacity of ZY10 and ZY100 depends on the surfactants loading level on the zeolite surface. An increase in HDTMA concentration is able to increase the adsorption capacity of ZY10, but it decreases the adsorption of ZY100. The modification of the zeolite with SDS was achieved only in the case of ZY100. The increment of the adsorption capacity of SDS-modified ZY100 for removing  $\text{PQ}^{2+}$  or 2,4-D depends on the water content in the zeolite. An increase in pH of the solution of 2,4-D has an effect on a decrease in the adsorption ability of HZY100 and SZY100, which is in contrast to the  $\text{PQ}^{2+}$  adsorption. The adsorption process of these pesticides on the adsorbents is mostly fitted well with pseudo-second order of kinetics model and Langmuir isotherm model.

School of Chemistry

Academic Year 2017

Student's Signature

Advisor's Signature